

УДК 537.525.2

## ИНТЕНСИВНАЯ ЭМИССИЯ ИОНОВ, ИНИЦИИРУЕМАЯ ПРОЦЕССОМ ВЗРЫВНОЙ ЭЛЕКТРОННОЙ ЭМИССИИ

*M. A. Поляков, Г. Н. Фурсей, Л. А. Широчкин*

Экспериментально исследованы основные характеристики ионной эмиссии, возбуждаемой взрывной электронной эмиссией. Показано, что эффективность процесса определяется не столько рассасыванием предварительно созданного при взрывной эмиссии ионного компонента катодной плазмы, сколько поставкой ионов с поверхности эмиттера под действием сильного электрического поля, причем этот процесс при определенных условиях может быть квазистационарным.

Значительный интерес представляет получение интенсивных пучков тяжелых ионов в решении многих физических и технологических задач [1, 2]. Существующие методы получения таких ионов, основанные на инъекции в ускоряющий промежуток плазмы от дополнительного источника [3] либо на использовании различных модификаций диодов сильноточных ускорителей [4], не позволяют получать широкий набор масс ускоряемых ионов. Поэтому в настоящее время перспективным представляется использование явления взрывной эмиссии (ВЭ), с помощью которой можно получать ионные потоки практически любой массы, определяемой материалом вещества эмиттера [5, 6, 7]. В этом случае на катод подаются разнополярные импульсы напряжения, первый реализует процесс ВЭ, во время которого происходит образование катодной плазмы (КП) и формирование жидкой фазы на поверхности катода [8], а на втором — отбор ионных токов.

Уже первые эксперименты [5, 7, 9] показали высокую эффективность метода — максимальные плотности ионных токов оказались сравнимы с плотностью электронного тока ВЭ [9].

Важно отметить, что исследования ионных токов, генерируемых этим методом, позволяют получить важную информацию о самом процессе ВЭ: о параметрах состояния КП, диодных характеристиках, механизмах возбуждения поверхности катода и их роли в поддержании процесса.

Целью настоящей работы является изучение основных закономерностей эмиссии ионов с предварительным возбуждением взрывной электронной эмиссией: разработка методики импульсных измерений ионных токов с учетом пролетных эффектов ионов, изучение законов токопрохождения ионных потоков в диоде с КП и выяснение роли поверхности эмиттера в поддержании ионной эмиссии.

### 1. Измерение импульсных ионных токов

С точки зрения изучения эмиссионных закономерностей процессов, инициируемых ВЭ, наиболее важными и информативными являются начальные стадии, когда разлет КП и особенности токопрохождения в нем не маскируют роль поверхности самого эмиттера. В то же время при исследовании эмиссионных характеристик, их кинетики, важно иметь, в предлагаемой методике, прямоугольные и независимо регулируемые импульсы напряжения. Одной

из особенностей импульсных токов тяжелых ионов, когда длительность импульса сравнима с временем пролета ионов  $\tau_{np}$ , является наложение ограничения на минимальную длительность импульса напряжения для отбора ионного тока. Как будет показано далее, это связано с тем, что, если  $\tau_n < \tau_{np}$ , электроны из КП, ускоренные ионным облаком в пролетном промежутке, могут полностью скомпенсировать измеряемый ионный ток. Поэтому необходимо иметь возможность независимо варьировать длительность импульсов напряжения в широких пределах.

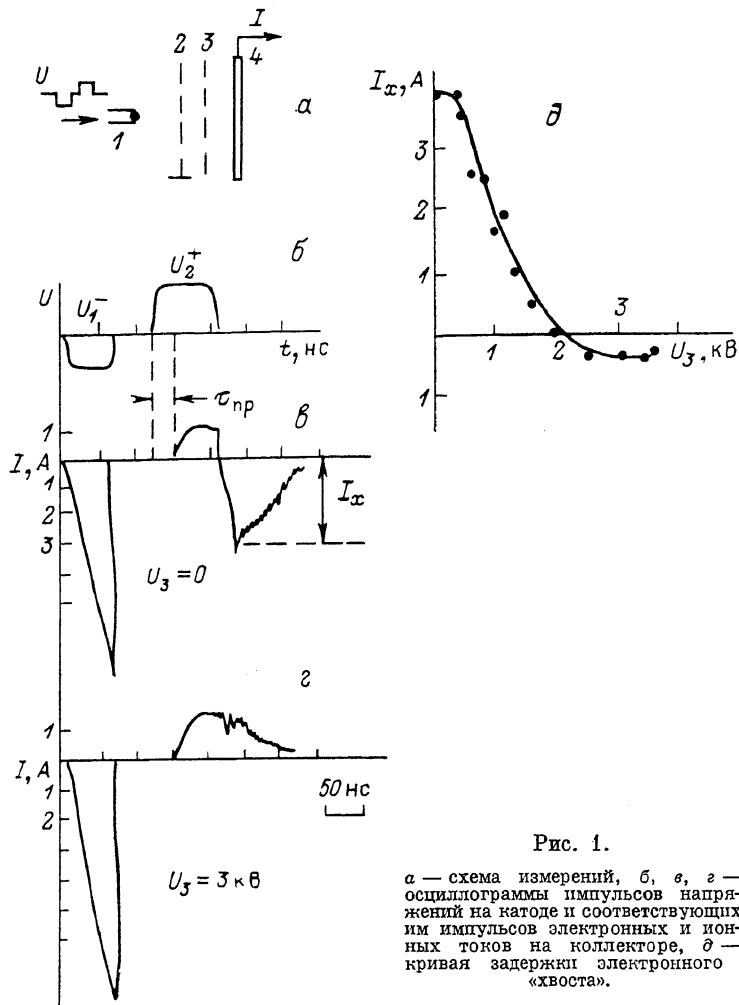


Рис. 1.

*a* — схема измерений, *б*, *в*, *г* — осциллограммы импульсов напряжений на катоде и соответствующих им импульсов электронных и ионных токов на коллекторе, *д* — кривая задержки электронного «хвоста».

Таким требованиям удовлетворяет методика с использованием наносекундного высоковольтного генератора [10] на двух кабельных формирующих линиях с независимым управлением и переключением на общую нагрузку — высоковольтный диод. Генератор позволяет подавать на катод два импульса напряжения произвольной полярности с независимо регулируемой длительностью ( $\tau_1, \tau_2 = 3-80$  нс) и амплитудой импульсов  $U = 10 \div 50$  кВ. Задержку между импульсами можно менять в пределах  $\Delta t = 0 \div 180$  нс.

На рис. 1, *а* приведена схема измерения ионных токов. Два импульса, отрицательной и положительной полярностей, подавались на катод 1. Анодом служила заземленная сетка 2; диодный зазор  $d_{AK} = 1-30$  мм.

Ионы приходят на коллектор 4 с задержкой  $\tau_{np}$  относительно фронта импульса напряжения положительной полярности, которая определяется временем их пролета (рис. 1, *б*, *в*). После окончания импульса, отбирающего ионы  $U_2^+$ , промежуток до коллектора заполнен ускоренными ионами, пространствен-

ный заряд которых вытягивает электроны из КП, что приводит к появлению сквозного электронного пучка на коллектор — электронных «хвостов» (рис. 1, в). Для выделения ионного тока, идущего на коллектор после окончания импульса напряжения  $U_2^+$ , в дрейфовый промежуток, образованный анодной сеткой 2 и графитовым коллектором 4, введена дополнительная сетка 3, на которую подавалось смещение  $U_{c2}$ , запирающее электроны. С целью проверки возможного влияния на измерения вторичной ион-электронной и ион-ионной эмиссии на коллектор подавалось смещение  $U_k$ , величина и знак которого задавались относительно  $U_{c2}$ . Эксперименты показали, что влияние вторично-эмиссионных процессов на измерения несущественно.

На рис. 1, в, г представлены осциллограммы, иллюстрирующие ионную природу токов, инициируемых ВЭ при последующем приложении к катоду положительного импульса напряжения  $U_2^+$ . Характерное время задержки до появления ионного тока  $\tau_{np}$  относительно фронта  $U_2^+$  соответствует времени пролета ионов материала катода. В зависимости от величины смещения  $U_{c2}$  (ср. 1, б и 1, в) характер осциллограмм тока коллектора меняется, что подтверждает высказанный ранее механизм появления на коллекторе электронных «хвостов» после окончания импульса  $U_2^+$ . На рис. 1, д, г представлена кривая задержки токов электронных «хвостов» в зависимости от величины  $U_{c2}$ , характеризующая энергию электронов из КП, набираемую в процессе их коллективного ускорения пространственным зарядом ионного потока, дрейфующего между КП и коллектором в отсутствие внешнего поля.

С целью увеличения градиента электрических полей у поверхности эмиттера, повышения стабильности эмиссионных характеристик [11] большинство экспериментов проводилось на катодах с жестко ограниченной изолятором эмиссионной поверхностью. В качестве изоляторов использовались кварцевые капилляры диаметром 200 мкм. Материалом эмиттера являлся графит, твердый или жидкий Ga, W, что определялось конкретными задачами исследования.

## 2. Закономерности токопрохождения ионов в диоде

При изучении зависимости эмиссии ионов от параметров возбуждающего ее процесса ВЭ обнаружено, что величины ионных токов аномально высоки [?]. В этих исследованиях на катод подавался импульс напряжения отрицательной

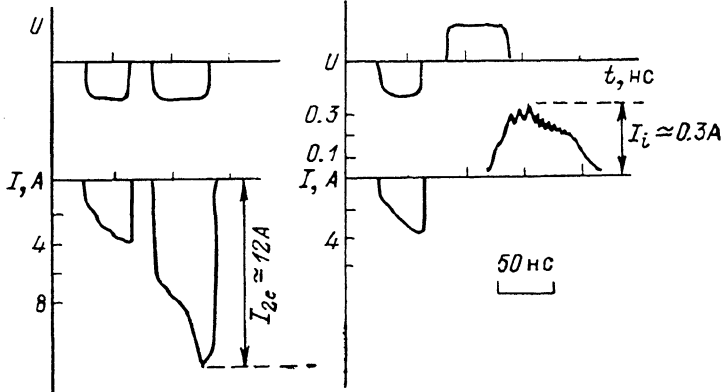


Рис. 2.

$$U_1 = U_2 = 20 \text{ кВ}, \tau_1 = 40 \text{ нс}, \tau_2 = 60 \text{ нс}.$$

полярности  $U_1=20$  кВ, длительностью  $\tau_1=10-70$  нс, возбуждавший ВЭ. После этого с задержкой  $\Delta t=0-180$  нс подавался второй импульс  $U_2=20$  кВ длительностью  $\tau_2=70$  нс. Полярность  $U_2$  менялась для отбора либо электронного, либо ионного тока, проводилось сравнение ионного  $I_i$  и электронного  $I_e$  токов на коллектор (рис. 2).

Значения электронных токов на первом  $I_{e1}$  и втором импульсах  $I_{e2}$  удовлетворительно описываются законом степени  $3/2$  с движущейся эмиссионной гра-

ницей [12] во всем интервале длительностей паузы  $\Delta t$ . Тогда при тех же напряжениях на диоде и тех же значениях задержки  $\Delta t$  между  $U_1$  и  $U_2$  следовало ожидать, что  $I_{e2}/I_i \approx (m_i/m_e)^{1/2} \approx 145$ , где  $m_i$  и  $m_e$  — соответственно массы иона углерода и электрона. Как показали эксперименты, величина  $I_e/I_i < 50$ , что определялось аномально высокими значениями токов  $I_i$ .

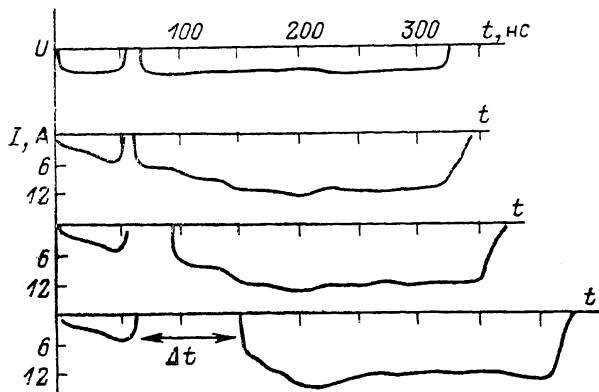


Рис. 3. Кинетика электронного тока при ВЭ для различных  $\Delta t$ ,  $U_1 = U_2 = 20$  кВ.

Следует отметить, что в работе [5] при ускорении ионов из взрывоэмиссионной плазмы также получены аномально высокие значения ионных токов: «...ионный ток существенно превышает чайдл—ленгмюровский предел».

Очевидно, что механизм генерации столь высоких значений требует отдельного исследования. Как видно из рис. 2, значительная часть ионного потока на коллектор в силу большого  $\tau_{np}$  ионов и сравнимого с ним по длительности импульса тока  $\tau_2$  приходит на коллектор уже после окончания импульса  $U_2^+$ .

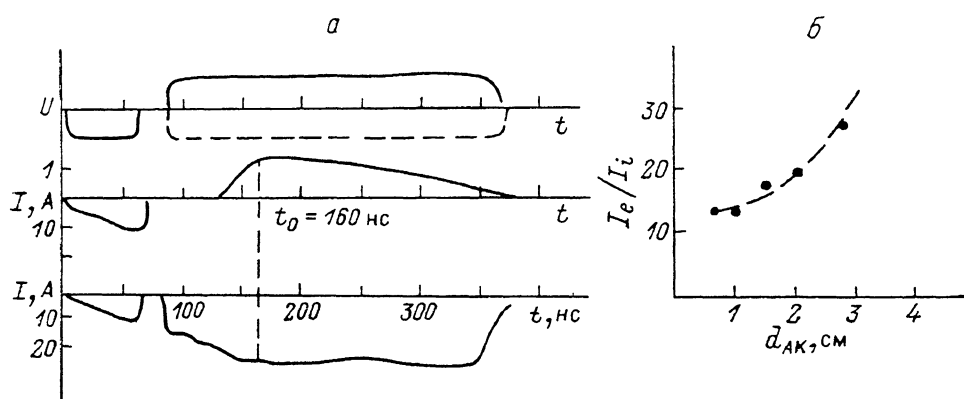


Рис. 4. Сравнение электронных и ионных токов в одинаковые моменты времени (а) и связь отношения ионного и электронного тока с величиной диодного зазора (б).  $U_1 = U_2 = 20$  кВ.

При этом в промежутке до сетки З заряд ионного пучка может быть скомпенсирован ускоряемыми им из КП электронами. Поэтому мы увеличили длительность импульса  $\tau_2$ , так, чтобы исключить этот эффект. Кроме того, в этих исследованиях мы использовали квазиплоский катод большой площади ( $S \approx 2 \text{ см}^2$ ) с большим числом графитовых эмиттеров ( $n=50$ ), так как в этом случае вольт-амперные характеристики диода могут быть точнее проанализированы. За счет увеличения длины формирующей линии одного из генераторов длительность импульса  $\tau_2$  была увеличена до 300 нс.

Вначале исследовалась кинетика электронных токов ВЭ (рис. 3). Она хорошо описывается законом  $3/2$  для планарного диода с движущейся эмиссионной границей с учетом эффекта ее замедления при выходе тока на насыщение  $I(t) \sim$

$\sim U^{3/2}/\sqrt{m_e} (d_{AK} - v_{KPI} t)^2$ , где  $d_{AK}$  — расстояние катод-анодная сетка,  $v_{KPI}$  — скорость движения эмиссионной границы КП [12, 13].

Важно отметить, что движение эмиссионной границы КП не зависит от того, происходит отбор электронного тока или нет (от длительности паузы  $\Delta t$ ), и, таким образом, положение ее может быть определено осциллографически, т. е. по осциллограмме электронного тока (рис. 3), в любой момент исследуемого временного интервала.

В следующей серии экспериментов на втором импульсе ( $U_+^+$ ) изучались ионные токи. На рис. 4, а представлены осциллограммы ионного ( $I_i(t)$ ) и электронного токов ( $I_e(t)$ ) для того же интервала  $\Delta t$ . Сравниваются  $I_i(t_0)$  и  $I_{e2}(t_0)$ , когда ионный ток достигает квазистационарного значения. Видно, что  $I_{e2}(t_0)/I_i(t_0) \approx 20$  определяется превышением ионным током чайльд-Ленгмиоровского предела, если считать положение эмиссионной границы для случая отбора электронного и ионного токов одинаковой. Поэтому величину ионного тока можно объяснить, предполагая, что за время пролета ионов формируется иная, чем в случае отбора электронов, эмиссионная граница. Положение эмиссионной границы для ионов, в момент  $t_0$ , можно оценить из следующих соображений. Поскольку

$$I_{e2}(t_0) \sim \frac{U^{3/2}}{\sqrt{m_e} (d_{AK} - v_{KPI} t_0)^2} \quad \text{и} \quad I_i(t_0) \sim \frac{U^{3/2}}{\sqrt{m_i} d_i^2},$$

где  $d_i$  — положение эмиссионной границы для ионов, то

$$d_i = (d_{AK} - v_{KPI} t_0) \sqrt{\left(\frac{m_e}{m_i}\right)^{1/2} \frac{I_{e2}(t_0)}{I_i(t_0)}}.$$

Для случая, показанного на рис. 4, а,  $d_{AK} - v_{KPI} t_0 \approx 9$  мм,  $d_i \approx 3$  мм.

Качественно механизм формирования эмиссионной границы можно пояснить следующим образом. При наложении поля, ускоряющего ионы от границы КП, начинается движение пучка ионов, который своим пространственным зарядом экранирует внешнее электрическое поле и подтягивает электроны из КП. Таким образом, за время пролета ионов эмиссионная граница продвигается к аноду, ускоряющий промежуток уменьшается, что позволяет получать высокие значения ионных токов.

Очевидно, что при достаточно большом расстоянии  $d_{AK}$ , когда перестройка и продвижение эмиссионной границы за характерные времена измерений малы по сравнению с  $d_{AK}$ , токопрохождение определяется в основном этим расстоянием, и соотношение токов должно стремиться к классическому  $I_e/I_i \rightarrow (m_i/m_e)^{1/2}$ . Поэтому для проверки предложенного механизма формирования эмиссионной границы была снята зависимость  $I_{e2}/I_i$  от  $d_{AK}$  (рис. 4, б).

Действительно, увеличение зазора  $d_{AK}$  приводит к росту соотношения  $I_{e2}/I_i$ , что качественно подтверждает предложенный механизм токопрохождения в диоде с КП при изменении знака электрического поля.

### 3. Эффект самоподдержания эмиссии ионов

До настоящего времени механизм ионной эмиссии, инициируемой ВЭ, не изучен. Так как в этом случае отбор ионов осуществляется в присутствии предварительно созданной катодной плазмы, то возникает вопрос — что является их источником: только КП или в процессе эмиссии существенную роль играет также возбужденная поверхность катода? В первом случае эмиссия обусловлена лишь «рассасыванием» ионного компонента КП, а во втором случае она в существенной степени определяется еще и условиями поставки ионов с поверхности катода в плазму.

Известно, что при взрывной эмиссии электронов величина образовавшегося заряда ионов  $KPI_{KPI}$  в зависимости от условий эксперимента много меньше величины заряда электронов пучка  $Q_{eKPI}/Q_e \leqslant 0.01$  [14]. Эти результаты получены методом оценки массы вещества катода, испаренного при взрыве [15]. Поэтому, зная заряд, перенесенный ионами, и сравнивая его с зарядом электро-

нов, генерируемым в процессе ВЭ, инициирующей эмиссию ионов, можно проверить, может ли предварительно созданная при ВЭ катодная плазма обеспечить наблюдаемые в опытах значения ионных зарядов. С этой целью были проведены эксперименты по измерению заряда ионов  $Q_i$ , отбираемого в процессе ионной эмиссии.

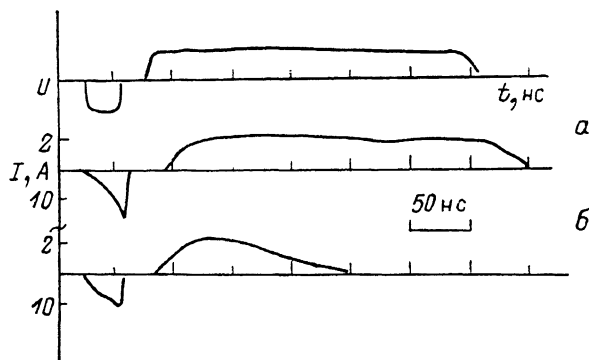


Рис. 5.

*a, b* — металлический и графитовый катоды.

Как следует из наших измерений ионных токов, оцененные по осциллограммам отношения  $Q_i/Q_e$  в зависимости от режима взрыва [16] и от материала катода могут быть существенно (до 10 раз) больше единицы. Это позволяет утверждать, что эмиссия ионов связана не столько с расходом предварительно созданного ионного заряда КП, сколько с поставкой ионов с поверхности катода при взаимодействии его поверхности с плазмой ВЭ и внешним электрическим полем в процессе отбора ионного тока.

Роль поверхности катода в эффективности поддержания процесса ионной эмиссии видна из рис. 5. Здесь при одном и том же поле длительность импульса

ионного тока металлического катода ограничена длительностью импульса напряжения  $\tau_2$ , в то время как ионный ток графитового катода прекращается в присутствии поля. Так как существование жидкой фазы графита возможно только в силу огромных давлений ( $P \approx 10^4$  атм), оказываемых КП на поверхность эмиттера [18, 8], то этот результат, по нашему мнению, связан с тем, что, как только в процессе отбора ионного тока давление в КП упадет ниже критического, поверхность эмиттера застынет и поставка ионов с нее прекращается. На металлическом катоде этого ограничения нет, эмиссия квазистационарна в течение всей длительности импульса напряжения.

Тот факт, что на графитовых катодах эмиссия ионов прекращается в течение импульса поля, позволил установить характер зависимости эмиссии от внешнего поля.

На рис. 6 представлены зависимости величины заряда ионов  $Q_i$  от внешнего электрического поля. Для различных, строго фиксированных длительностей ВЭ, полученных на графитовых катодах, когда измеряется полный заряд ионной эмиссии  $Q_i$ , т. е. длительность тока ионов меньше длительности импульса напряжения  $U_2^+$ . Следует отметить, что аппроксимация зависимостей  $Q_i = f(U)$  для  $U \rightarrow 0$  характеризует величину ионного заряда КП, образованного в процессе ВЭ. Важным результатом яв-

Рис. 6. Зависимость величины заряда ионов  $Q_i$  от внешнего электрического поля.

$1$  (нс),  $Q_i$  (Кл):  $1 - 15, 2 \cdot 10^{-8} \exp(8U_2 \times 10^{-8})$ ;  $2 - 30, 3 \cdot 10^{-8} \exp(9U_2 \cdot 10^{-8})$ ;  $3 - 50, 4 \cdot 10^{-8} \exp(U_2 \cdot 10^{-8})$ .

На рис. 6 представлены зависимости величины заряда, переносимого ионным пучком на коллектор, от напряжения на диоде (среднего поля в зазоре) для разных, строго фиксированных длительностей ВЭ, полученных на графитовых катодах, когда измеряется полный заряд ионной эмиссии  $Q_i$ , т. е. длительность тока ионов меньше длительности импульса напряжения  $U_2^+$ . Следует отметить, что аппроксимация зависимостей  $Q_i = f(U)$  для  $U \rightarrow 0$  характеризует величину ионного заряда КП, образованного в процессе ВЭ. Важным результатом яв-

ляется то, что процесс эмиссии ионов имеет полевую природу, т. е. при увеличении напряженности поля в диоде количество отбираемых ионов ( $Q_i$ ) интенсивно возрастает и хорошо аппроксимируется зависимостью

$$Q_i = Q_0 \exp(kU).$$

Приведенные в работе экспериментальные результаты показывают, что в процессе ионной эмиссии существенными являются пролетные эффекты ионов, которые определяют кинетику эмиссионной границы КП и высокие значения ионных токов. Наиболее важным является то, что процесс ионной эмиссии из КП связан с интенсивной поставкой ионов с поверхности катода, имеющей полевую природу. На жидкокометаллических и металлических катодах, на которых существование жидкой фазы поверхности эффективно поддерживается в сильном электрическом поле в присутствии КП [8], получены квазистационарные значения токов до 2 А длительностью 0.3 мкс со средней по катоду плотностью тока до  $10^4$  А/см<sup>2</sup>.

### Литература

- [1] Габович М. Д. Физика и техника плазменных источников ионов. М.: Атомиздат, 1972.
- [2] Winterberg F. J. Plasma Phys., 1979, v. 12, N 2, p. 301—306.
- [3] Humphries S. Jr., Nendel C. W., Jr., Kuswa G. W., Goldstein S. A. Rev. Sci. Instr., 1979, N 8, p. 993—999.
- [4] Нападичев В. А. Атомная техника за рубежом, 1968, № 12, с. 3.
- [5] Логачев Е. И., Ремнек Г. Е., Усов Ю. П. Письма в ЖТФ, 1980, т. 6, в 22, с. 1404—1406.
- [6] Логачев Е. И., Ремнек Г. Е., Усов Ю. П. ПТЭ, 1983, № 2, с. 21—23.
- [7] Широчин Л. А., Поляков М. А., Фурсей Г. Н., Лупехин С. М. Письма в ЖТФ, 1984, т. 10, № 24, с. 1507—1510.
- [8] Фурсей Г. Н., Лупехин С. М., Поляков М. А. и др. ДАН, 1984, т. 276, № 4, с. 866—869.
- [9] Поляков М. А., Широчин Л. А., Лупехин С. М. и др. Тр. VI Всес. симпозиума по сильно-точной электронике. Томск, 1986, т. 1, с. 70—72.
- [10] Гришанов Б. И., Широчин Л. А., Фурсей Г. Н. и др. ПТЭ, 1986, № 4, с. 91—93.
- [11] Фурсей Г. Н., Широчин Л. А., Чубуков Ю. Я., Баскин Л. М. ЖТФ, 1983, т. 53, № 4, с. 798—800.
- [12] Бугаев С. П., Месяц Г. А., Литвинов Е. А., Прокуровский Д. И. УФН, 1975, т. 115, № 1, с. 101—120.
- [13] Баженов Г. П., Ладыженский О. Б., Литвинов Е. И., Чесноков С. М. ЖТФ, 1977, т. 47, № 10, с. 2086—2092.
- [14] Месяц Г. А., Фурсей Г. Н. В кн.: Ненакаливаемые катоды / Под ред. М. И. Елинсона. М.: Сов. радио, 1974, с. 277.
- [15] Баженов Г. П., Литвинов Е. А., Месяц Г. Н., Прокуровский Д. И. ЖТФ, 1973, т. 43, № 6, с. 1255—1262.
- [16] Коваль Б. А., Прокуровский Д. И., Трегубов В. Ф., Янкелевич Е. Б. Письма в ЖТФ, 1979, т. 5, № 10, с. 603—606.

Ленинградский  
электротехнический институт связи  
им. проф. М. А. Бонч-Бруевича

Поступило в Редакцию  
5 июня 1987 г.